

京都大学大学院 学生員 西川 秀昭
 京都大学工学部 正員 岩佐 義輔
 京都大学工学部 正員 繁 史郎

1.はじめに。

前報¹⁾、筆者らは、粘着則を有する二次元せん断乱流場における主流方向の混合現象を対象として、相似的なLagrange的シミュレーションを行なり、その結果、Euler的乱流構造基礎式の数値解、およびElderの解析解と比較することにより、手法の有効性を確認することとした。このようす速度場における混合現象のLagrange的特性について、いくつかの知見を得た。本報では、上述のLagrange的シミュレーション法を矩形断面を有する3次元的せん断乱流場に適用する方法について述べることとし、若干の数値シミュレーションを行なった結果について報告する。

2. Lagrange的数値シミュレーション法の概要

簡単のため、速度場は、流下方向に等質であるとして、また局所平均流速の水深方向成分 \bar{U}_z 、水路幅方向成分 \bar{U}_y は、ゼロとする。このようす速度場に、 $t=0$ に、実 a_1 に存在する気体粒子の初期位置 $X(a_1, t)$ の各成分は、Lagrange的に次のように記述される。

$$\left. \begin{array}{l} X(a_1, t) = \int_0^t v_x(a_1, t') dt' \\ Y(a_1, t) = \int_0^t v_y(a_1, t') dt' \\ Z(a_1, t) = \int_0^t v_z(a_1, t') dt' \end{array} \right\} \quad (1)$$

$$\left. \begin{array}{l} v_x(a_1, t) = \bar{U}_x(Y, Z) + U'_x(X, Y, Z, t) \\ v_y(a_1, t) = U'_y(X, Y, Z, t) \\ v_z(a_1, t) = U'_z(X, Y, Z, t) \end{array} \right\} \quad (2)$$

ここで、 v_i は粒子の有するLagrange的速度、 \bar{U}_i は主流方向の局所平均流速、 U'_i はEuler的流れである。

(1), (2)式より、 $t=n\Delta t$ に、実 $X(X^n, Y^n, Z^n)$ に存在した粒子の $t=(n+1)\Delta t$ における粒子の位置は、次のようす離散化できる。

$$\left. \begin{array}{l} X^{n+1} = X^n + v_x(a_1, n\Delta t) \Delta t \\ Y^{n+1} = Y^n + v_y(a_1, n\Delta t) \Delta t \\ Z^{n+1} = Z^n + v_z(a_1, n\Delta t) \Delta t \end{array} \right\} \quad (3)$$

$$\left. \begin{array}{l} v_x(a_1, n\Delta t) = \bar{U}_x\{(Y^n + Y^{n+1})/2, (Z^n + Z^{n+1})/2\} \\ \quad + U'_x\{X^n, Y^n, Z^n, n\Delta t\} \\ v_y(a_1, n\Delta t) = U'_y\{X^n, Y^n, Z^n, n\Delta t\} \\ v_z(a_1, n\Delta t) = U'_z\{X^n, Y^n, Z^n, n\Delta t\} \end{array} \right\} \quad (4)$$

3. 数値シミュレーション法の適用

・ $\bar{U}_x(4, z)$; 3次元的せん断乱流場における局所平均流速分布の一観的表示は、困難であり、ここでは、筆者らの滑面矩形断面開水路流れにおける移流分散実験(Run 122)²⁾において得られた流速分布形(図-1)を用いた。水路中央部付近に、二次元的領域が存在するが、水路幅方向にも弱い非一様性の存在が認められる。水深方向: 10奥、水路幅方向に沿って、計280奥に流速をとれ、粒子速度は、各流速測定から距離に応じて、重み付き平均値をとることとした。

・ $U'_i(X, Y, Z, t)$; Euler的流れの統計的性質は、流下方向にかわらないものとし、乱れ強さ $\sqrt{u_{\tau}^2}$ も、断面内でかわらないものとし、日野の複号乱数列モデル³⁾と類似のものを用いることとし、計算機により擬似乱数を発生させて求めた。ただし、ランク数は6とし、各成分の乱れ強さは以下のようすに定めた。

・ $\sqrt{u_x^2}$: 開水路流れにおける日野の実測値⁴⁾を水深方向に平均化して得られる $\sqrt{u_x^2}/u_* = 1.58$ を用いた。

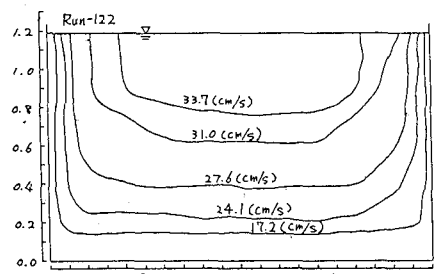


図-1 流速分布図

・ \bar{u}_x^2, \bar{u}_y^2 ; 乱流拡散係数と乱れ強さの関係 $C_s = U_*^2 T_L$ より、逆算して与えた。ただし、 T_L と U_* とは、境界か主流方向の乱れ計測より推定した値 $T_L = 0.72 d/u_*$ を水深方向、水路幅方向にも用いた。乱流拡散係数 C_s は、水深方向 $C_s = 0.05 d/u_*$ 、水路幅方向 $C_s = 0.2 d/u_*$ を用いた。

・ Δt ; Euler 的乱れ速度の発生法により、上述のものを用いる際は、実時間に適合させたためには、時間スケール（タイムステップ $\Delta t = \text{第} 6 \text{ ランクの乱子の寿命時間} / 10$ ）を適切に定めなければならぬ。筆者らは、このモデルを用いて、一様流中の乱流拡散のシミュレーションで、 $U_*^2/U_*^2 = 1.58^2$, $T_L/(d/u_*) = 0.72 \times 1.2$ 行った計算結果では、 $\Delta t = 0.06 d/u_*$ のとき、得られた拡散係数値が、既定の $C_s/du_*^2 = U_*^2 T_L / d u_*^2 = 1.80$ となつた。

・境界条件；粒子が境界にぶつかると完全反射するものとし、乱れ速度、および各ランクの乱子速度は、境界への衝突前と反対符号を持つものとした。なお、完全反射の形としては、右図（図-2）のようなもののが考えられる。

4. 結果とその考察

断面を水深方向に 10 分割、水路幅方向に 20 分割し、各格子点より、2 個ずつ、計 400 個の粒子を放出し、各粒子につれて、約 2,000 step の追跡を行い、粒子の位置に関する統計的特性の時間的变化を調べた。得られた濃度波形の一例を図-3 に示す。

1 次モーメント、2 次中心モーメント、および歪度の経時変化を、各々、図-4, 5, 6 に示す。1 次モーメントの成長は、始めから線形であるが、2 次中心モーメントは、非線形で成長の後、線形成長となる。また、図-3 からも知れるように、波形は歪んでおり、歪度の経時変化は、ゆるやかである。

開水路流れの速度場の実態は、複雑であり、本シミュレーションで用いたものほど、單純ではないが、得られた結果を実測値と比較すれば、表-1 のようである。Lagrange 的乱れ強さ、分散係数等、若干の違いはあるが、二次元流れに比較して、分散係数が大きくなることは、三次元流れの混合現象の特性は示しているものと考える。

5. おわりに

今後、Lagrange 变動速度の統計的性質を調べることにより、種々の流速分布形、乱れ強さの組合せについて、数値シミュレーションを行ひ、三次元せん断乱流場の混合現象を明らかにしていきたいと考えている。

参考文献

- 1) 西川、岩佐、綾；第36回年次講演会概要集
- 2) 菊師寺、岩佐、綾、戸田；第37回年次講演会概要集
- 3) 日野；第9回水理講演会講演集
- 4) 戸野；京都大学博士論文(1980)

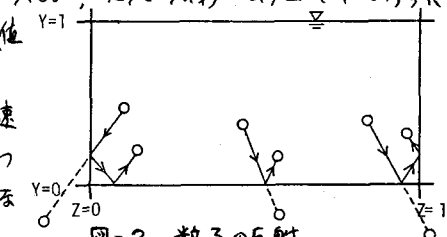


図-2. 粒子の反射

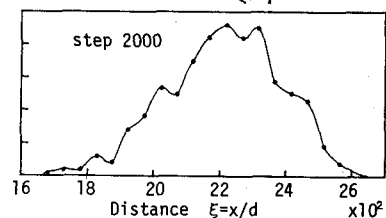


図-3. 濃度波形

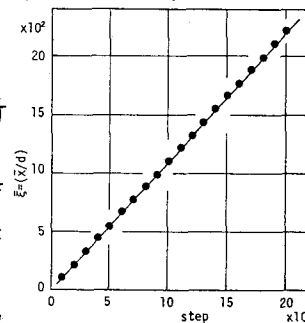


図-4. 1 次モーメントの変化

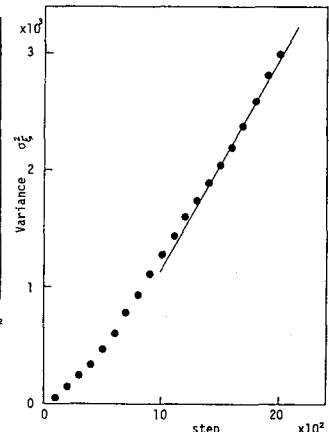


図-5. 2 次中心モーメントの変化

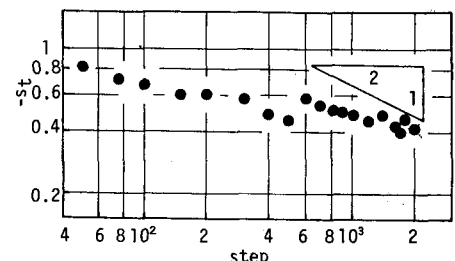


図-6. 歪度の変化

表-1 結果の比較

	\bar{u}/u_*	u_c/u_*	$[v_x]/u_*$	$[v_x^2]/u_*^2$	D/du_*	$T_{SL}/(d/u_*)$
Simulated	18.0	18.3	18.7	25.8	150	.5.83
Experimental	18.0	15.6	—	17.9	113	6.28